

# 铁系胶体催化剂各组分相互作用的研究<sup>\*</sup>

夏树伟 夏少武<sup>1</sup> 宋昭峰<sup>1</sup>

(青岛海洋大学化学化工学院, 青岛 266003; <sup>1</sup> 青岛化工学院应用化学系, 青岛 266042)

关键词: 胶体催化剂, 电导率, 紫外-可见光谱

已知催化剂  $\text{FeCl}_3\text{-Al}(i\text{-Bu})_3\text{-Phen}$  (邻菲罗啉) 在加氢汽油介质中对丁二烯聚合有较高的活性<sup>[1-2]</sup>, 作者曾研究了  $\text{FeCl}_3\text{-Al}(i\text{-Bu})_3\text{-Phen}$  体系催化剂的相态, 证明该体系为胶体催化剂<sup>[3]</sup>.

Bushick<sup>[4]</sup>较早地使用电导率研究烷基铝-氯化钛体系离子特性与聚合速率的关系. 至今尚未见从胶体角度研究本体系各组分之间相互作用的报导.

本文是把电导率作为胶体的电学性质之一进行研究的. 主要研究了  $\text{FeCl}_3\text{-Al}(i\text{-Bu})_3\text{-Phen}$  胶体催化剂体系单、多组分溶液的电导率与浓度的关系, 结合相应的紫外-可见光谱分析结果, 得出  $\text{Al}(i\text{-Bu})_3$  不仅是还原剂, 而且还能形成双电层具有稳定催化剂胶粒作用的结论.

## 1 实验部分

原料: 无水三氯化铁简记为(Fe), 三异丁基铝简记为(Al), 邻菲罗啉简记为(Phen), 丁二烯加氢汽油溶液简记为(Bd), 具体规格和性能, 可参见文献[3].

电导率与紫外-可见光谱的测定参见文献[5].

## 2 结果与讨论

### 2.1 单组分的电导率及紫外-可见光谱

测得加氢汽油在 25℃时电导率为  $1.0 \times 10^{-8} \text{ S} \cdot \text{m}^{-1}$ , 比相同条件下纯水电导率  $6.63 \times 10^{-6} \text{ S} \cdot \text{m}^{-1}$  低得多. (Fe) 和 (Phen) 的电导率很小, 接近于 0, 其值几乎不随浓度的变化而变化, 这表明 (Fe) 和 (Phen) 几乎不发生电离. (Al) 的电导率值较高(见图 1(I)), 且随浓度增加而增大. 浓度低时曲线上升较快, 浓度较高时上升较缓慢.

三价铝化合物是缺电子化合物, Bushick<sup>[4]</sup>根据电导率测定提出  $\text{Al}(i\text{-Bu})_3$  常常缔合为二聚或多聚, 并进一步解离成离子对, 如式(1)所示(式中 R 代表  $i\text{-Bu}$  基).



由于解离平衡的存在, 图 1 中(Al)的电导率随着浓度的进一步增大, 上升逐渐缓慢.

单组分(Fe)为黄色, 其紫外-可见光谱在 200~800 nm 范围内有三个吸收峰, 分别是 228.8、271.7、360.8 nm, 归属为  $\text{Cl} \rightarrow \text{Fe(III)}$  荷移跃迁, 是  $\text{FeCl}_3$  的特征吸收峰; (Phen) 在 302.0 nm 和 323.0

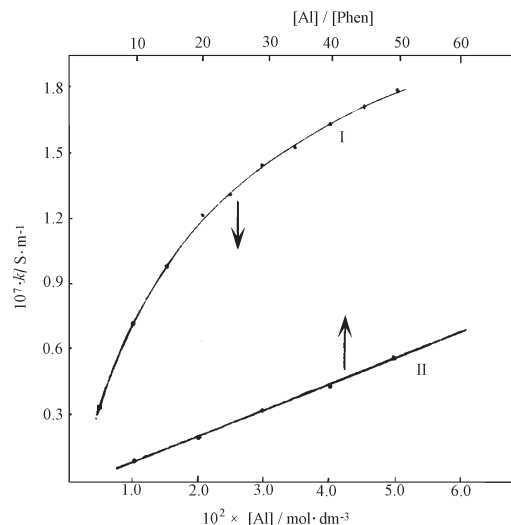


图 1 各组分电导率与浓度的关系(25℃)

Fig. 1 The relationship of the electric conductivity of various components with concentration

- (1) the electric conductivity of single-component (Al),
- (2) the electric conductivity of bi-component (Al)-(Phen)

nm 处有两个吸收峰,归属为(Phen)中 C=C 和 C=N 键的  $\pi \rightarrow \pi^*$  跃迁.

## 2.2 双组分体系的电导率及光谱

### 2.2.1 (Fe)-(Phen)的电导率及光谱

当一定量的(Phen)加入(Fe)后,溶液呈淡黄色.(Fe)-(Phen)双组分的 UV-Vis 光谱如图 2 所示,当按  $[Phen]/[Fe] = 1$  混合时,(Fe)在波长为 360.8 nm 处的特征峰消失,在波长为 263.8 nm 处出现一个新的吸收峰,在 316.0 nm 处出现一个肩峰. 随  $[Phen]/[Fe]$  摩尔比值的增大,吸收峰逐渐右移,吸收峰的高度也逐渐升高. 这是因为(Phen)有较强的配位能力,能与  $FeCl_3$  生成  $Fe^{3+} \leftarrow Phen$  配合物. 随着(Phen)量的增加,生成配合物浓度增加,因此峰高增加. 文献[3]已证明(Fe)+(Phen)在加氢汽油介质中为直径 60 nm 左右的胶粒,通常认为(Phen)与胶粒表面缺陷部位的  $Fe^{3+}$  配位的可能性大,配位的结果降低表面能. 随表面配合物浓度的增加,表面能继续降低,因此产生红移.

通过以上分析可看出,波长分别在 263.8 nm 和 316.0 nm 处的两个峰是与颗粒表面的  $Fe^{3+} \leftarrow Phen$  配合物有关的吸收峰.

文献[6]给出了(Phen)与(Fe)生成的配合物为  $Fe(Phen)_nCl_3$ ,故认为  $FeCl_3$  颗粒的表面反应为

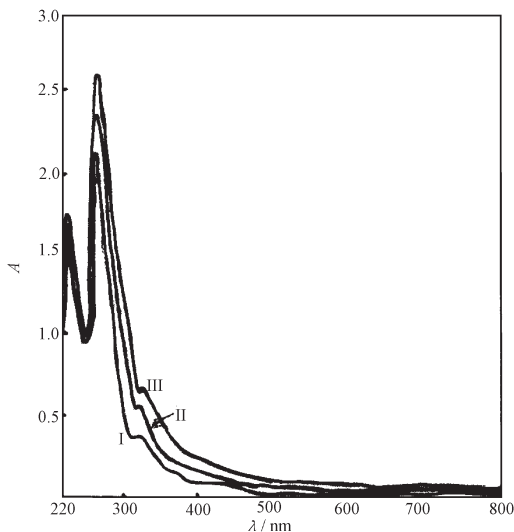
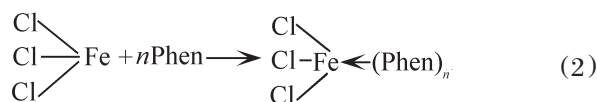


图 2 (Fe)-(Phen) 的 UV-Vis 光谱

Fig. 2 The UV-Vis spectrum of bi-component (Fe)-(Phen)

Conditions:  $[Fe] = 5.55 \times 10^{-5} \text{ mol} \cdot \text{dm}^{-3}$ , I)  $[Phen]/[Fe] = 1$ , II)  $[Phen]/[Fe] = 2$ , III)  $[Phen]/[Fe] = 3$ ,  $25^\circ\text{C}$



式中  $n$  值随  $[Phen]/[Fe]$  比值不同,可能取 1 或 3.

在  $[Phen]/[Fe]$  为  $0.5 \sim 3.0$  浓度范围内,(Phen)+(Fe)的电导率随(Phen)浓度的增加几乎不变,这说明  $Fe(Phen)_nCl_3$  不发生解离.

### 2.2.2 (Al)-(Phen)双组分的电导率与光谱

在一定浓度(Phen)中加入(Al),溶液呈粉红色. 电导率变化如图 1 中(II)所示. 由图可见电导率随  $[Al]/[Phen]$  摩尔比值的增大呈线性增加. 此时(Al)的浓度较低,相当于图 1 中曲线(I)的起始部分. 比较图中(I)与(II)可知,双组分的电导率小于同浓度单组分(Al)的电导率,这预示出(Phen)与(Al)之间发生作用.(Al)-(Phen)双组分 UV-Vis 光谱与图 2 相似,随着  $[Al]/[Phen]$  比值增加,位于 278.1 nm 的吸收峰高度增加,认为吸收峰是配体  $Phen \rightarrow Al(III)$  荷移所致. 结合电导率与紫外-可见光谱实验结果推断(Al)与(Phen)发生配位反应:



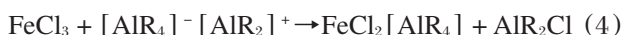
Fisenka<sup>[7]</sup>由 NMR、EPR 研究也发现在 Phen 与  $AlR_3$  之间发生反应.

### 2.2.3 (Fe)-(Al)双组分的电导率与光谱

在一定量的(Fe)中加入(Al)溶液立刻变成黑色,混合后的电导率随(Al)浓度的变化如图 3(I) 所示. 摩尔比  $[Al]/[Fe] = 10.0 \sim 60.0$  范围内,电导率逐渐增加,当  $[Al]/[Fe] = 66.0$  时,降至极小值,当  $[Al]/[Fe] > 70.0$  时电导率逐渐升高.

在  $[Al]/[Fe] = 66.0$  时为较佳配比,生成的催化剂颗粒较小,粒径约 30 nm 左右,属胶体范围.(Fe)-(Al)紫外-可见吸收光谱也证明了这一点(图 4). 在 350 nm 处出现吸收峰,且随  $[Al]/[Fe]$  摩尔比增加,吸收峰逐渐升高,吸收峰位置发生紫移. 这是因为  $FeCl_3$  起初形成较大的颗粒,随(Al)的增加反应程度增强,胶体颗粒逐渐减小,比表面增加,表面能增高,因而产生紫移.

已知  $AlR_3$  是很强的还原剂,它可以把胶粒表面的  $Fe(III)$  还原成低价态( $Fe(II), Fe(0)$ ),文献[8]给出本催化体系活性位是二价的. 认为发生如下还原反应:



其中有些  $FeCl_2[AlR_4]$  解离出自由基  $R \cdot$ ,  $Fe(III)$  被

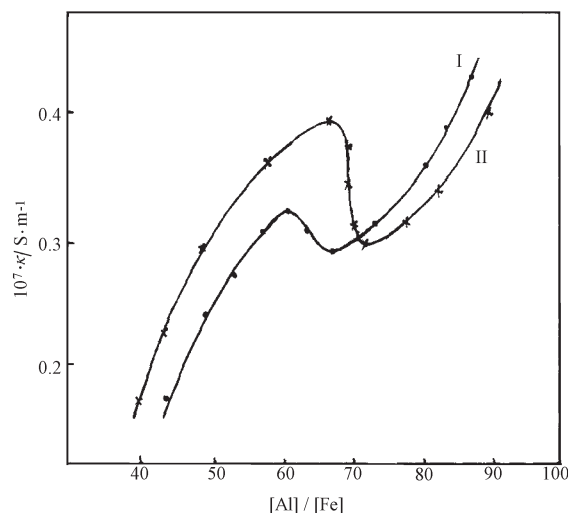


图 3 几组分混合后电导率与浓度的关系

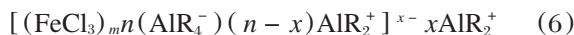
Fig. 3 The relationship of the electric conductivity of the mixtures with concentration

Conditions: I)  $(\text{Al}) + (\text{Fe})$ , II)  $(\text{Al}) + (\text{Fe}) + (\text{Phen})$ ,  
 $[\text{Phen}] = 9.2 \times 10^{-4} \text{ mol} \cdot \text{dm}^{-3}$ ,  $[\text{Fe}] = 5.55 \times 10^{-5}$   
 $\text{mol} \cdot \text{dm}^{-3}$ ,  $25^\circ\text{C}$

还原成  $\text{Fe}(\text{II})$ :



因此认为反应(4)、(5)是生成活性位的关键反应,由于此反应只发生在胶粒表面,即胶粒表面有一定量的  $\text{Fe}(\text{II})$ . 但胶粒的主体仍然是  $\text{FeCl}_3$ ,故把胶核写成  $(\text{FeCl}_3)_m$ . 根据 Fajans 规则,能与晶体组成离子形成不溶物的离子将优先吸附. 根据式(1),胶核将吸附过量的(Al)中的  $[\text{AlR}_4]^-$  离子,使胶粒表面带负电,即胶粒带电. 胶粒在电场作用下移动产生相应电导. 当  $[\text{Al}]/[\text{Fe}] = 60$  时,胶粒表面电荷达到最大值. 当  $[\text{Al}]/[\text{Fe}]$  比值再增加,开始吸附相反离子  $[\text{AlR}_2]^+$  使颗粒表面电荷下降,当  $[\text{Al}]/[\text{Fe}] = 66.0$  表面电荷降到极小值,表面双电层形成了,即形成了稳定胶粒. 因此催化剂胶团具有如下结构:



双电层的形成使胶粒稳定,不易发生聚结,所以在  $[\text{Al}]/[\text{Fe}] = 66.0$  时制得的催化剂颗粒较小且大小均匀;当  $[\text{Al}]/[\text{Fe}] > 66.0$  时,必定有更多的相反离子进入 Stern 层,使胶粒稳定性下降,颗粒聚结变大. 由于(Al)的量增多,汽油溶液中“自由”离子增加,因此电导率上升.

### 2.3 三组分体系电导率与光谱

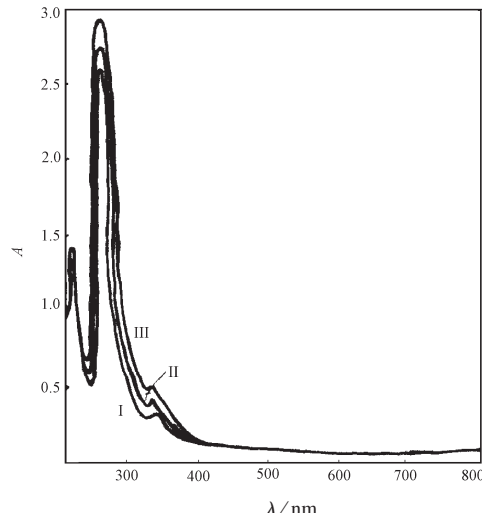


图 4 (Fe)-(Al)双组分 UV-Vis 光谱

Fig. 4 The UV-Vis spectrum of bi-component (Fe)-(Al)

Conditions: I)  $[\text{Al}]/[\text{Fe}] = 50$ , II)  $[\text{Al}]/[\text{Fe}] = 60$ ,  
III)  $[\text{Al}]/[\text{Fe}] = 66$ ,  $[\text{Phen}] = 9.2 \times 10^{-4} \text{ mol} \cdot \text{dm}^{-3}$ ,  
 $[\text{Fe}] = 5.55 \times 10^{-5} \text{ mol} \cdot \text{dm}^{-3}$ ,  $25^\circ\text{C}$

三组分混合,在  $[\text{Phen}]/[\text{Fe}] = 1.67$  时,改变  $[\text{Al}]/[\text{Fe}]$ ,电导率变化如图 3(II)所示. 比较图中(I)与(II),可以看出两曲线形状相似,只是在较佳配比  $[\text{Al}]/[\text{Fe}] = 66.0$  处,双组分的电导率出现极小值,而三组分的电导率出现极大值,三组分的极小值出现在  $[\text{Al}]/[\text{Fe}] = 70.0$  处. 曲线形状相似说明在三组分中仍以(Al)与(Fe)的反应为主生成胶粒. 三组分的电导率极小值出现在较高  $[\text{Al}]/[\text{Fe}]$  比值处,因为(Al)与(Phen)发生反应(见反应(3)),需消耗一部分(Al),所以比值增加.

三组分混合后其紫外-可见光谱如图 5 所示,由图看出在 512 nm 处出现新的吸收带,它是  $\text{Fe}(\text{II})$  与 Phen 作用形成稳定配合物的特征谱带. 这一谱带的出现说明了(Phen)在形成活性位过程中的作用. 已知邻菲罗啉同  $\text{Fe}(\text{III})$ 、 $\text{Fe}(\text{II})$  都能发生配合作用,但对  $\text{Fe}(\text{II})$  则有更大的稳定作用. 因为  $\text{Fe}(\text{Phen})_3^{2+}$  的稳定常数为  $10^{15}$ ,而  $\text{Fe}(\text{Phen})_3^{3+}$  的稳定常数为  $10^{21}$ <sup>[6]</sup>. 这就是说当  $\text{AlR}_3$  还原  $\text{FeCl}_3$  时,Phen 的配位作用使铁离子稳定在  $\text{Fe}(\text{II})$  状态,防止进一步被还原成低价态  $[\text{Fe}(\text{I}), \text{Fe}(0)]$ . 增加了活性位的浓度,因此催化活性高.

正是由于(Phen)有稳定  $\text{Fe}(\text{II})$ ,防止其进一步

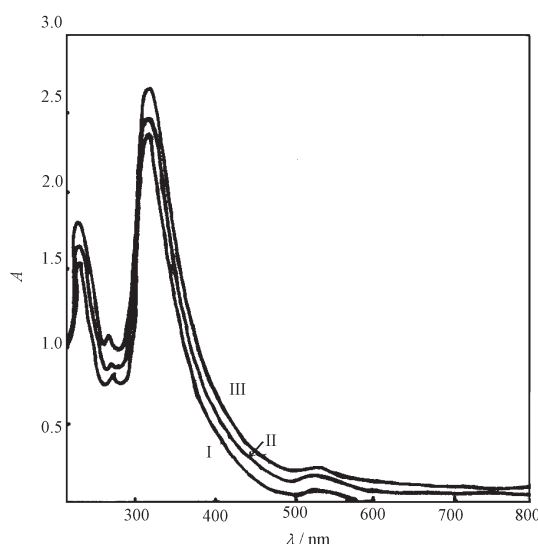


图 5 三组分的 UV-Vis 光谱

Fig. 5 The UV-Vis spectrum of tri-component system

Conditions: I)  $[Al]/[Fe] = 50$ , II)  $[Al]/[Fe] = 66$ ,  
III)  $[Al]/[Fe] = 70$ , [Phen] =  $9.2 \times 10^{-4} \text{ mol} \cdot \text{dm}^{-3}$ ,  
 $[Fe] = 5.55 \times 10^{-5} \text{ mol} \cdot \text{dm}^{-3}$ , 25°C

被还原成低价态  $[Fe(I), Fe(0)]$  的作用, 在  $[Al]/[Fe] < 70.0$  时三组分的电导率大于双组分的。当  $[Al]/[Fe] > 70.0$  时, 三组分电导率低于双组分的,

由于在这种条件下生成的胶粒较大<sup>[3]</sup>, 在电场作用下移动速率慢, 因此电导率低。

### References

- 1 Liu GZ, Wang FJ. *Polymer Communications*, 1984, 5: 389  
[刘国智, 王凤江, 高分子通讯 (*Guofenzi Tongxun*), 1984, 5: 389]
- 2 Liu GZ, Wang FJ. *Polymer Communications*, 1985, 4: 252  
[刘国智, 王凤江, 高分子通讯 (*Guofenzi Tongxun*), 1985, 4: 252]
- 3 Xia SW, Ge XP, Li K. *Chinese J. Catalysis*, 1997, 18(5): 406  
[夏少武, 葛小萍, 李凯, 催化学报 (*Cuihua Xuebao*), 1997, 18(5): 406]
- 4 Bushick R D, Steatns R S. *J. Polymen Sci. Part A-1*, 1966, 4: 215
- 5 Xia SW, Wei QL, Li N, et al. *Acta Chimica Sinica*, 1998, 56: 1159  
[夏少武, 魏庆莉, 李宁等, 化学学报 (*Huaxue Xuebao*), 1998, 56: 1159]
- 6 Xu ZG. *Morden Complex Chemistry*. Beijing: Chemical Industry Press, 1987, 187 [徐志固. 现代配位化学, 北京: 化学工业出版社, 1987, 187]
- 7 Fisenko A Y, Grindin V A, Ershor B A, et al. *Zh. Obshch. Khim.*, 1983, 53(2): 483
- 8 Wang FJ, Zhan RY, Liu GZ, et al. *Chinese J. Appl. Chem.*, 1989, 4(4): 1 [王凤江, 詹瑞云, 刘国智等, 应用化学 (*Yingyong Huaxue*), 1989, 4(4): 1]

## Studies on the Interaction of the Various Components in Colloidal Catalysts of Iron System\*

Xia Shu-Wei      Xia Shao-Wu<sup>1</sup>      Song Zhao-Zheng<sup>1</sup>

(College of Chemistry and Chemical Engineering, Ocean University of Qingdao, Qingdao 266003;

<sup>1</sup> Department of Applied Chemistry, Qingdao Chemical and Technology, Qingdao 266042)

**Abstract** The relationship of the electric conductivity of single and multi-component of colloidal catalyst  $FeCl_3-Al(i\text{-Bu})_3\text{-Phen}$  with their concentration was studied in hydrogenated gasoline solvent at 25°C, meanwhile, the UV-Vis spectra of the corresponding component of the catalyst were detected. The experimental results showed that  $Al(i\text{-Bu})_3$  existed in associated state and dissociated into ion couple. The reaction between  $Al(i\text{-Bu})_3$  and  $FeCl_3$  was the main reaction to form colloidal core. The  $Fe(III)$  on the surface of the colloidal particles was reduced to lower valence by  $Al(i\text{-Bu})_3$ . The stable complex formed by the reaction between Phen and  $Fe(II)$  could prevent  $Fe(II)$  from being reduced to lower valence. The colloidal particles were comparatively stable by means of the electric double layer yielded by a proper excess of  $Al(i\text{-Bu})_3$ . The stable colloidal particles could be formed in the optimal ratio of the catalyst components.

**Keywords:** Colloidal catalyst, Electric conductivity, UV-Vis spectrum

Received: September 14, 2000; Revised: December 22, 2000. Correspondent: Xia Shu-Wei (E-mail: shuweixia@263.net).  
Supported by NSFC(29373106)

\* The Project Sup-